

A hiva definíciója többféle lehet, és attól függően, hogy melyiket választjuk, az approximáció teljesen eltérő megoldásokra vehethet.

A leggyakoribb feltétel a négyzetes átlaghiba

$$\mathcal{E} = \frac{1}{2\pi} \int_{-\pi}^{+\pi} |f_D - f|^2 d\psi \quad (6.68)$$

melyet rendszerint akkor választunk, ha az előírást véges Fourier sorral közelítjük. Ez azonban nem tartalmaz megkötést a függvény egy adott pontjában fellépő hibára, és ez a toleranciaséma ugrásainál a realizált függvény oszcillációját okozza. Ez az oka annak, hogy gyakran a maximális eltérést,  $\max. |f_D - f|$ -et írják elő, amihez az  $f$  bázis-függvényekre Csebisev polinomok adódnak. Itt jegyezzük meg, hogy az általában nem jelent egyenlő hullámosságu közelítést, csak akkor, ha a hiba egyetlen Csebisev polinommal felírható.

A realizálható függvények meghatározása után a szintézis következő lépése az antennarendszer paramétereinek (elemszám, távolság, amplitúdó, fázis) rögzítése. Mint korábban említettük, egy adott  $f$  függvény többféle gerjesztéssel is megvalósítható. A legkedvezőbb megoldás kiválasztásához további feltételeket támaszthatunk. Ez vonatkozhat a tolerancia érzékenységre, jósági tényezőre, vagy más jellemzőre. A szakasz további részében a felsorolt megoldások közül az előírt iránykarakterisztika szintézisét véges Fourier sorral végezzük.

#### 6.4.3. Egyenlő távolságu, szimmetrikus amplitudó eloszlású antennasor iránytényezője

Az egyenlő távolságu antennasor iránytényezője a következő

$$F_i(z) = I_0 + I_1 z + I_2 z^2 + \dots + I_{N-1} z^{N-1} \quad (6.69)$$

Most tételezzük fel, hogy az elemszám páratlan, és helyezzük át a referencia pontot a sor első tagjáról a középsőre. Ekkor az irány-  
tényező

$$F_i(z) = I_M z^{-M} + I_{M+1} z^{-M+1} + \dots + I_0 + \dots + I_{M-1} z^{M-1} + I_M z^M \quad (6.70.)$$

ahol

$$M = \frac{N-1}{2}$$

Ha a sor közepéhez képest szimmetrikusan elhelyezkedő elemek gerjesz-  
tési állandói egymás konjugáltjai, akkor a (6.66) képlet a véges Fourier  
sor komplex alakja, mely valós függvényt realizál.

Ugyanis, ha

$$I_0 = a_0; \quad I_{-k} = a_k - j b_k; \quad I_k = a_k + j b_k$$

akkor

$$F_i(\psi) = a_0 + 2 \sum_{k=1}^M (a_k \cos k\psi - b_k \sin k\psi) \quad (6.71)$$

vagy komplex alakban

$$F_i(\psi) = \sum_{k=-M}^{k=+M} I_k e^{jk\psi} \quad (6.72.)$$

Megjegyezzük, hogy ha N páros, akkor az eljárás teljesen hasonló, csak  
az argumentum  $(2k-1) \frac{\psi}{2}$ .

#### 6.4.4. Előírt iránytényező approximációja

Ha az előírt iránytényező a  $-\pi \leq \psi \leq \pi$  tartományban adott (vagyis  
 $d = \frac{\lambda}{2}$ ), akkor ez  $e^{jk\psi}$  szerint sorbafejthető, vagyis

$$f_D = \sum_{k=-\infty}^{k=+\infty} I_{Dk} e^{jk\psi} \quad (6.73.)$$

## 6.5. Egyenlő melléknyalábú antennasorok szintézise

### 6.5.1. Bevezetés

Mint azt a binomiális eloszlásnál és a háromszög eloszlásnál láttuk a szélek felé csökkenő, szimmetrikus amplitudó eloszlású antennasorok melléknyalábja kisebb, mint az egyenlő amplitudójú soroké.

A melléknyalábok csökkenésének ára a főnyaláb kiszélesedése, vagyis az irányhatás csökkenése. E téren valamelyes javulás érhető el azzal, hogy a kisebb, távoli melléknyalábok szintjét megemeljük, és már intuitív úton is elvárható, hogy az egyenlő melléknyaláb szintet eredményező amplitudóeloszlás ebben az értelemben optimális, vagyis adott melléknyalábszinthez a legkeskenyebb főnyaláb tartozik. A feladat matematikai megfogalmazása nagyon hasonlít az elliptikus szűrőknél megismerthez.

Ilyen optimális antennasort először Dolph [5] dolgozott ki félhullámhossz távolságú oldalsugárzó antennasorokra, és kimutatta, hogy ez a szintézisfeladat Csebisev polinomokkal valósítható meg, így az ilyen antennasorokat Dolph-Csebisev soroknak nevezik.

A Csebisev polinomok az ortogonális polinomok csoportjába tartoznak és rövid leírásuk az 1. Függelékben található.

### 6.5.2. Dolph-Csebisev módszer. Az iránytényező felírása

Az egyenlő távolságú, szimmetrikus amplitudó eloszlású, és progresszív fázis eloszlású antennasor  $F(\Psi)$  iránytényezője a (6.72) képletből kiindulva felírható olyan véges Fourier sorral, mely csak cos-os tagokat tartalmaz.

Ha a sor elemeinek száma (N) páros, akkor

$$F(\Psi) = 2 \sum_{k=1}^M I_k \cos (2k-1) \frac{\Psi}{2} \quad (6.78)$$

ahol

$$M = \frac{N}{2}$$

$$I_k = \text{valós}$$

Ha a sor elemeinek száma páratlan, akkor

$$F(\Psi) = I_0 + 2 \sum_{k=1}^M I_k \cos 2k \left(\frac{\Psi}{2}\right) \quad (6.79)$$

ahol

$$M = \frac{N-1}{2}$$

És most vezessünk be egy új változót. Legyen

$$x = \cos \frac{\Psi}{2} \quad (6.80)$$

akkor az 1. Függelék ismeretében az iránytényező páros elemszám esetén

$$F(x) = 2 \sum_{k=1}^M I_k T_{2k-1}(x) ; \quad (-1 \leq x \leq 1) \quad (6.81)$$

és páratlan elemszám esetén

$$F(x) = I_0 + 2 \sum_{k=1}^M I_k T_{2k}(x) \quad (-1 \leq x \leq 1) \quad (6.82)$$

Vagyis az iránytényező felírható olyan elsőfajú Csebisev polinomok súlyozott összegeként, melyek legnagyobb rendszáma (N-1) és páros N esetén az összeg csak páratlan polinomokból áll, páratlan N esetén pedig csak párosakból.

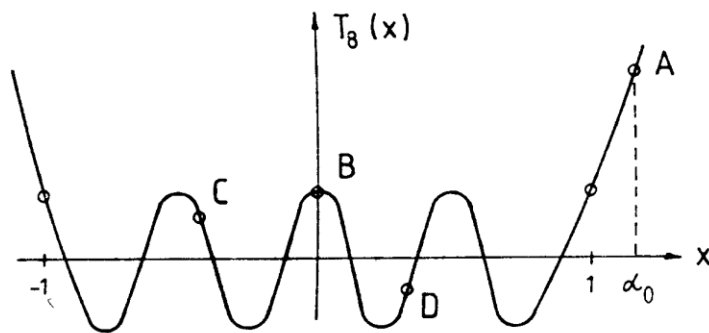
A (6.81) és (6.82) képletet vizsgálva megállapítható, hogy a főirányban ( $\Psi = 0$ ;  $x=1$ )  $T_k(1) = 1$ , ezért a normalizálási képletek

$$F(1) = 2 \sum_{k=1}^M I_k ; \quad \text{ha } N = 2M \text{ páros} \quad (6.83)$$

és

$$F(1) = I_0 + 2 \sum_{k=1}^M I_k ; \text{ ha } N=2M+1 \text{ páratlan} \quad (6.84)$$

Itt megjegyezzük, hogy a (6.81) és (6.82) képlet a szakasz elején tett feltételek mellett teljesen általános iránytényezőt ír le. A Csebisev polinomok itt még nem adnak egyenlő nagyságu melléknyalábokat. A szintézis következő lépéséhez először nézzük meg 6.38. ábrát, mely a  $T_8(x)$  Csebisev polinomot mutatja



6.38. ábra

Az ábrából látható, hogy a kívánt iránytényezőt egyetlen Csebisev polinommal is leírhatjuk, ha a főnyaláb leírásához felhasználjuk az  $x > 1$  tartományt. Mivel a (6.81) és (6.82) képlet szerint az iránytényező  $(N-1)$ -edrendű polinom, ezért a keresett Csebisev polinom  $T_{N-1}(u)$ , ahol

$$u = \alpha_0 x = \alpha_0 \cos \frac{\psi}{2} ; (\alpha_0 > 1) \quad (6.85)$$

és a főirányban

$$T_{N-1}(\alpha_0) = R ; (R > 1) \quad (6.86)$$

### 6.5.3. A Dolph-Chebisev módszer korlátai

A 6.38. ábra részletes vizsgálata alapján megállapítható, hogy  $T_{N-1}(u)$  látható tartománya oldalsugárzó sor ( $\delta=0$ ) és  $d = \lambda/2$  esetén a B-A-B szakasz,  $d > \lambda/2$  esetén a C-A-C szakasz és  $d < \lambda/2$  esetén a D-A-D szakasz, vagyis az  $F(\nu)$  iránytényezőt a  $T_{N-1}(u)$  polinom jobboldalának kétszeres leképzésével kapjuk.

Ezzel kapcsolatban rá kell mutatnunk, hogy ha  $d < \lambda/2$ , akkor az  $F(\nu)$  függvényben nem jelenik meg  $T_{N-1}(u)$  minden zérusa, tehát lehet olyan másik  $(N-1)$ -edrendű polinomot találni, amely ugyanilyen melléknyaláb szint mellett keskenyebb főnyalábot eredményez. Vagyis ha  $d < \lambda/2$  akkor a Dolph-Chebisev módszer nem ad optimális megoldást.

Visszatérve a  $T_{N-1}(u)$  polinom látható tartományának vizsgálatára, az is megállapítható, hogy ha  $\delta = -\beta d$ , vagyis orrsugárzó sort készítünk, akkor a látható tartomány csak akkor kerül el az  $u < -1$  szakaszt, tehát csak akkor nem keletkezik kiugró melléknyaláb, ha  $d < \lambda/4$ , ami már a szupernyereségű tartományban van, vagyis egyéb hibái mellett igen toleranciaérzékeny megoldást eredményez. Ezért a Dolph-Chebisev módszer orrsugárzó sorok méretezésére nem használatos, de mindezek ellenére, különösen oldalsugárzó sorok szintéziséhez széles körben alkalmazzák. A továbbiakban mi is csak ezt a ( $\delta=0$ ) lehetőséget vizsgáljuk.

### 6.5.4. A számítás főbb lépései

Az egyenletes hullámosságu iránytényező két legfontosabb paramétere a melléknyaláb elnyomás ( $R$ ) és a főnyaláb szélessége a szomszédos zérus-helyek között mérve. A Dolph-Chebisev sorok méretezése azt jelenti, hogy adott elemszám ( $N$ ) mellett vagy a melléknyaláb elnyomást írjuk elő, vagy a főnyaláb szélességét, és ehhez meghatározzuk a gerjesztő amplitudókat.

Ha a főnyaláb kúpszöge ( $\theta_0$ ) van megadva, akkor ebből először  $\alpha_0$ -t határozzuk meg. Ehhez az első zérushely az (F.27.) képlet alapján

$$u_{01} = \cos \frac{\pi}{2(N-1)}$$

Másrészt

$$u_{01} = \alpha_0 \cdot x_{01} = \alpha_0 \cos \frac{\psi_{01}}{2} = \alpha_0 \cos \left( \pi \frac{d}{\lambda} \cos \vartheta_{01} \right)$$

ahol, oldalsugárzó sor esetén  $\vartheta_{01} = 90 - \frac{\theta_0}{2}$ .

Ezzel

$$\alpha_0 = \frac{\cos \frac{\pi}{2(N-1)}}{\cos \left( \pi \frac{d}{\lambda} \cos \vartheta_{01} \right)} \quad (6.87)$$

A számítás legfontosabb lépése a gerjesztő amplitudók meghatározása. Ez úgy történik, hogy a (6.81) vagy (6.82) képletet egyenlővé tesszük  $T_{N-1}(u)$ -val és x azonos kitevőjű tagjait összehasonlítjuk. Például páros N-re a (6.77) képlet felhasználásával

$$\sum_{k=1}^{\frac{N}{2}} I_k T_{2k-1}(x) = T_{N-1}(\alpha_0 x) \quad (6.88)$$

A (6.88) képlet megoldásának menetét a 9. Példában mutatjuk be.

A feladat része még a melléknyaláb elnyomás (R) meghatározása. Ez  $\alpha_0$  ismeretében a (6.82) képlettel történik, ahol  $T_{N-1}(u)$ -t most célszerűen az (F.22) képlettel adjuk meg. Tehát

$$R = \frac{1}{2} \left[ (\alpha_0 + \sqrt{\alpha_0^2 - 1})^{N-1} + (\alpha_0 - \sqrt{\alpha_0^2 - 1})^{N-1} \right] \quad (6.89)$$

Ha a melléknyaláb elnyomás van megadva, akkor  $\alpha_0$ -t a (6.89) képlet inverzéből számítjuk ki. Ez a levezetés mellőzésével

$$\alpha_0 = \frac{1}{2} \left[ (R + \sqrt{R^2 - 1})^{\frac{1}{N-1}} + (R - \sqrt{R^2 - 1})^{\frac{1}{N-1}} \right] \quad (6.90)$$

Az amplitudókat ezután az előzőkhöz hasonlóan a (6.88) képletből határozzuk meg.

A feladat befejező részeként a főnyaláb szélességét kell még kiszámítanunk. A (6.87) képlet átrendezése után

$$\cos \vartheta_{01} = \frac{1}{\pi} \left( \frac{\lambda}{d} \right) \arccos \left[ \frac{1}{\alpha_0} \cos \frac{\pi}{2(N-1)} \right] \quad (6.91)$$

és  $\theta_0 = 2 (90 - \vartheta_{01})$ .

### 9. Példa

Legyen az oldalsugárzó sor elemeinek száma  $N = 8$ , az elemek közötti távolság  $d = \lambda/2$  és az előírt melléknyaláb-elnyomás 26 dB.

Határozza meg az amplitudó eloszlást, számítsa ki a főnyaláb kúpszögét és az irányhatást.

### Megoldás:

$$R = \text{num log } 26 \text{ dB}$$

$$R = 20$$

Tehát a (6.86) képletből

$$T_7(\alpha_0) = 20$$

A (6.86) képletből

$$\alpha_0 = \frac{1}{2} \left[ (20 + \sqrt{20^2 - 1})^{1/7} + (20 - \sqrt{20^2 - 1})^{1/7} \right]$$

$$\alpha_0 = 1,15$$





Az amplitúdó-eloszlást úgy szokták megadni, hogy a legkisebb amplitúdó 1 legyen. Az eloszlás tehát

$$1; \frac{4,56}{2,66}; \frac{6,82}{2,66}; \frac{8,25}{2,66}; \frac{8,25}{2,66}; \frac{6,82}{2,66}; \frac{4,56}{2,66}; 1$$

$$1; 1,7; 2,6; 3,1; 3,1; 2,6; 1,7; 1$$

Az első nullahely a (6,87) képletből

$$\cos \vartheta_0 = \frac{1}{\pi} 2 \cdot \arccos \left( \frac{1}{1,15} \cos \frac{\pi}{14} \right)$$

$$\cos \vartheta_0 = 0,3558$$

$$\vartheta_0 = 1,2069 \text{ rad}$$

$$\vartheta_0 = 69,15^\circ$$

$$\vartheta_{\max} = 90^\circ$$

A főnyaláb kúpszöge tehát

$$\underline{\theta_0 = 41,7^\circ}$$

Összehasonlítva az egyenlő amplitúdójú sorral annak kúpszöge  $\theta_0 = 29^\circ$ , tehát a főnyaláb kiszélesedése jelentős.

Az irányhatás a (6.60) képlet alapján

$$D = \frac{\left( \sum_{k=0}^{N-1} |I_k| \right)^2}{\sum_{k=0}^{N-1} |I_k|^2}$$

$$\underline{D = 6,97}$$

Összehasonlítva az egyenlő amplitúdójú sorral a megvilágítási hatások

$$\eta = 0,87.$$

### 10. Példa

Legyen az iránytényezőben a főnyaláb kúpszöge  $\theta_0 = 35^\circ$ , a sor elemeinek száma  $N=8$  és az elemek közötti távolság  $d = \lambda/2$ . Számítsuk ki a melléknyaláb elnyomást és határozzuk meg az amplitúdó-eloszlást.

A (6.83) képletből

$$\alpha_0 = \frac{\cos \frac{\pi}{14}}{\cos(\frac{\pi}{2} \cos 72,5^\circ)} = \frac{0,9749}{0,8905}$$

$$\alpha_0 = 1,0948$$

Ebből

$$T_7(1,0948) = 9,1 = R$$

Tehát a melléknyaláb-elnyomás

$$a_M = 20 \lg R$$

$$a_M = 19,2 \text{ dB}$$

=====

Az amplitúdó-eloszlás meghatározásához szükséges egyenletrendszer

$$\begin{aligned} I_4 &= \alpha_0^7 & I_4 &= 1,89 \\ 16I_3 - 112I_4 &= -112\alpha_0^5 & I_3 &= 2,21 \\ 4I_2 - 20I_3 + 56I_4 &= 56\alpha_0^3 & I_2 &= 2,88 \\ I_1 - 3I_2 + 5I_3 - 7I_4 &= -7\alpha_0 & I_1 &= 3,17 \end{aligned}$$

A keresett amplitúdó-eloszlás tehát,

$$1; 1,7; 1,52; 1,68; 1,68; 1,52; 1,17; 1$$

## 2. A Csebisev polinomok származtatása

Az elsőfajú  $T_n(x)$ , és másodfajú  $U_n(x)$  Csebisev polinomokat legegyszerűbben a  $0 \leq t \leq \pi$  tartományban ortogonális  $\{\cos nt\}$ , illetve  $\{\sin nt\}$  rendszerből jelölésváltoztatással származtathatjuk. Ugyanis

az

$$\int_0^{\pi} \cos mt \cdot \cos nt \, dt = \int_0^{\pi} \sin(m+1)t \sin(n+1)t \, dt = 0$$

( $m \neq n$ ;  $m, n = 0, 1, 2, \dots$ )

ortogonalitási relációkból  $\cos t = x$  helyettesítéssel adódik, hogy

$$\int_{-1}^1 T_m(x) T_n(x) (1-x^2)^{-\frac{1}{2}} dx = \int_{-1}^1 U_m(x) U_n(x) (1-x^2)^{-\frac{1}{2}} dx = 0 \quad (6)$$

( $m \neq n$ ;  $m, n = 0, 1, 2, \dots$ )

ahol

$$T_m(x) = \cos m t = \cos (m \arccos x) \quad (7)$$

az elsőfajú Csebisev polinom

$$U_m(x) = \frac{\sin(m+1)t}{\sin t} = \frac{\sin[(m+1) \arccos x]}{\sin(\arccos x)} \quad (8)$$

a másodfajú Csebisev polinom.

A (6) képlet szerint a  $T_n(x)$  elsőfajú Csebisev polinomok a  $w(x) = (1-x^2)^{-\frac{1}{2}}$  súlyfüggvényre, az  $U_n(x)$  másodfajú Csebisev polinomok a  $w(x) = (1-x^2)^{-\frac{1}{2}}$  súlyfüggvényre ortogonálisak a  $-1 \leq x \leq 1$  tartományban.

Ha  $m=n$ , akkor a normalizálási képletet kapjuk, mely

$$\int_{-1}^1 \frac{T_n^2(x)}{\sqrt{1-x^2}} dx = \int_0^{\pi} \cos^2 nt \, dt = \begin{cases} \pi & \text{ha } n=0 \\ \pi/2 & \text{ha } n \neq 0 \end{cases} \quad (9)$$

illetve

$$\int_{-1}^1 \frac{U_m^2(x)}{\sqrt{1-x^2}} dx = \int_0^{\pi} \sin^2(n+1)t \, dt = \pi/2; \quad n=0, 1, 2, \dots \quad (10)$$

$T_n(x)$  és  $U_n(x)$   $x$ -nek  $n$ -edfokú polinomjai, melyek felírhatók a Moivre képlet és a binomiális tétel alapján.

$$\begin{aligned} \cos nt + j \sin nt &= \cos^n t + j \binom{n}{1} \cos^{n-1} t \cdot \sin t - \\ &\quad - \binom{n}{2} \cos^{n-2} t \cdot \sin^2 t + \dots \end{aligned}$$

A valós és a képzetes részek összehasonlításával azt kapjuk, hogy

$$\cos nt = (\cos t)^n - \binom{n}{2} (\cos t)^{n-2} (1 - \cos^2 t) + \dots \quad (11)$$

$$\sin nt = \sin t \cdot \binom{n}{1} (\cos t)^{n-1} - \binom{n}{3} (\cos t)^{n-3} (1 - \cos^2 t) + \dots \quad (12)$$

Vagyis

$$T_n(x) = x^n - \binom{n}{2} x^{n-2} (1 - x^2) + \binom{n}{4} x^{n-4} (1 - x^2)^2 - \dots \quad (13)$$

$$U_n(x) = (n+1)x^n - \binom{n+1}{3} x^{n-2} (1 - x^2) + \binom{n+1}{5} x^{n-4} (1 - x^2)^2 - \dots \quad (14)$$

Speciálisan:

$$T_0(x)=1; T_1(x)=x; T_2(x)=2x^2-1; T_3(x)=4x^3-3x$$

$$U_0(x)=1; U_1(x)=2x; U_2(x)=4x^2-1; U_3(x)=8x^3-4x$$

A számunkra fontosabb  $T_n(x)$  polinomok első 10 tagjának együtthatóit az I. Táblázatban adjuk meg a

$$T_n(x) = \sum_{m=0}^n C_m x^m$$

képletnek megfelelően. Az együtthatókat a  $T_n(x)$ -nek megfelelő sorban találjuk a sor elején, a táblázat főátlója alatt. Pl.  $T_6(x) = 32x^6 - 48x^4 + 18x^2 - 1$ .

1. táblázat

Az elsőfajú Csebisev polinomok egyíthetőségi

	$x^0$	$x^1$	$x^2$	$x^3$	$x^4$	$x^5$	$x^6$	$x^7$	$x^8$	$x^9$	$x^{10}$	
$T_0$	1	1	1		3		10		35		126	$T_0$
$T_1$		1	1	3		10		35		126		$T_1$
$T_2$	-1		2	1	4		15		56		210	$T_2$
$T_3$		-3		4	1	5		21		84		$T_3$
$T_4$	1		-8		8	1	6		28		120	$T_4$
$T_5$		5		-20		16	1	7		36		$T_5$
$T_6$	-1		18		-48		32	1	8		45	$T_6$
$T_7$		-7		56		-112		64	1	9		$T_7$
$T_8$	1		-32		160		256		128	1	10	$T_8$
$T_9$		9		-120		432		576		256	1	$T_9$
$T_{10}$	-1		50		-400		1120		-1280		512	$T_{10}$
	$x^0$	$x^1$	$x^2$	$x^3$	$x^4$	$x^5$	$x^6$	$x^7$	$x^8$	$x^9$	$x^{10}$	

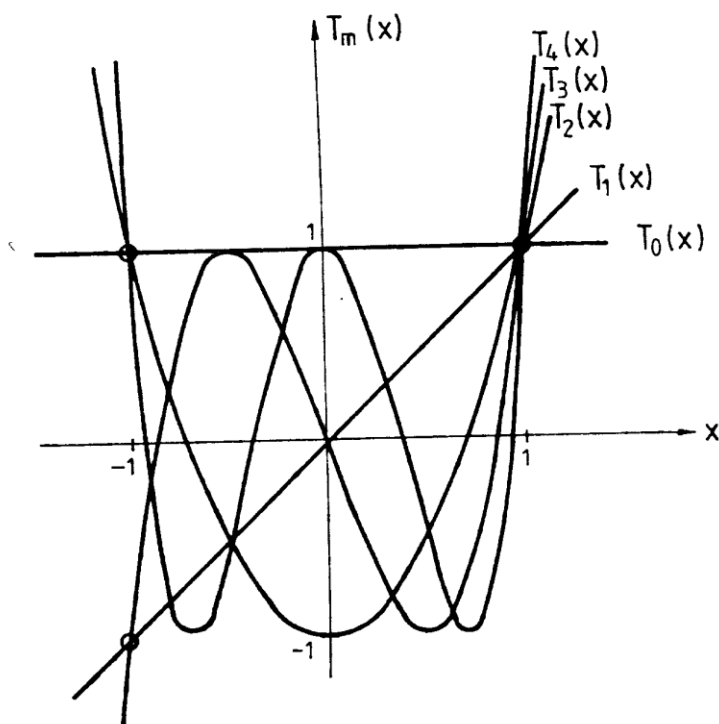
A táblázatban feltüntettük az

$$x^n = \frac{1}{C_n} \sum_{m=0}^n d_m T_m(x)$$

képlet együtthatóit is a táblázat főátlója fölött, az  $x^n$ -nek megfelelő oszlopban.

P1.  $x^6 = \frac{1}{32} [10 T_0 + 15 T_2 + 6 T_4 + T_6]$

Az első öt függvényt az 1. ábrán grafikusan is megadtuk.



1. ábra

A Csebisev polinomok közvetlenül is előállíthatók (direkt előállítás) az alábbi képletekkel.

Páros indexű polinomokra,  $n = 2N$  jelöléssel:

$$T_{2N}(x) = \sum_{k=0}^N (-1)^{N-k} \frac{N}{N+k} \binom{N+k}{2k} (2x)^{2k} \quad (20)$$

Páratlan indexű polinomokra,  $n = 2N-1$  jelöléssel:

$$T_{2N-1}(x) = \sum_{k=1}^N (-1)^{N-1} \frac{2N-1}{2(N+k-1)} \binom{N+k-1}{2k-1} (2x)^{2k-1} \quad (21)$$

Végül, különösen az antennasorok számításához igen hasznos az alábbi direkt előállítás:

$$\begin{aligned} T_n(t) &= \cos nt = \frac{1}{2} (e^{jnt} + e^{-jnt}) = \frac{1}{2} [(e^{jt})^n + (e^{-jt})^n] = \\ &= \frac{1}{2} [(\cos t + j \sin t)^n + (\cos t - j \sin t)^n] \end{aligned}$$

$$T_n(x) = \frac{1}{2} [(x+j\sqrt{1-x^2})^n + (x-j\sqrt{1-x^2})^n]$$

és

$$T_n(x) = \frac{1}{2} [(x+\sqrt{x^2-1})^n + (x-\sqrt{x^2-1})^n] \quad (22)$$

A (22) képlet különösen akkor kényelmes, ha  $|x| > 1$ .

#### 4. A Csebisev polinomokra vonatkozó további összefüggések

Az elsőfajú Csebisev polinomok deriváltja

$$\frac{d}{dx} T_n(x) = n U_{n-1}(x) \quad (23)$$